

مدیریت استاتیکی و مبتنی بر تحلیل حساسیت تراکم انتقال در بازارهای رقابتی برق

محمدموسی تبریزیان، حسین سیفی و محمدکاظم شیخ‌الاسلامی

و حیاتی‌ترین وظایف بهره‌بردار مستقل سیستم^۴ (ISO) برای عملکرد روان بازار رقابتی برق شناخته شده است. بهره‌بردار سیستم در یک بازار رقابتی برق، مسئول تشخیص اعمال لازم جهت حصول اطمینان از عدم تجاوز نسبت به محدودیت‌های شبکه می‌باشد. این مجموعه اعمال و روندها را در اصطلاح مدیریت تراکم^۵ (CM) گویند که اصولاً شامل توزیع مناسب سطوح بار و تولید به‌گونه‌ای است که سیستمی پایدار و بدون تخطی از محدودیت‌های شبکه پدید آورد. هزینه مدیریت تراکم، نقش مهمی در دست‌یابی به چنین جایگاهی خواهد داشت؛ به علاوه، بهره‌بردار سیستم می‌تواند جهت مدیریت تراکم، در صورت نیاز شبکه را به زیربخش‌های مختلف از نظر قیمت‌گذاری تقسیم نماید.

با توجه به مشکلات موجود در زمینه ساخت خطوط انتقال جدید به‌دلیل مشکل حق مسیر و کمبود منابع مالی و افزایش می‌رویه تبادلات توان در بازار رقابتی برق، حفظ امنیت سیستم به یکی از دغدغه‌های اصلی بازار و بهره‌برداران سیستم تبدیل شده است. تراکم انتقال می‌تواند از عقد قراردادهای جدید جلوگیری کرده و منجر به افزایش خاموشی و افزایش بهای برق در برخی مناطق گردیده و نیز ممکن است امنیت^۶ و قابلیت اعتماد^۷ سیستم را به مخاطره اندازد [۲].

ابزار مدیریت تراکم، بر اساس دستورات بهره‌بردار سیستم برای گروه‌های مختلف جهت تجدید نظر در قراردادها، دیسپچ مجدد ژنراتورها، استفاده از دستگاه‌های مختلف کنترلی و یا بارزدایی در شرایط اضطراری هنگامی که سایر روش‌ها نتوانند تراکم را بهبود بخشنده، به کار می‌رود. راه حل‌های دیگر بر اساس یافتن قراردادی جدید برای تغییر مسیر جریان در خط متراکم شده استوار است؛ شیفت‌دهنده‌های فاز^۸، ترانسفورماتورهای با انشعاب متغیر^۹ و ادوات^{۱۰} FACTS می‌توانند نقش مهمی در بازار رقابتی برق، جهت حل مشکلات تراکم انتقال ایفا نمایند [۳].

بر اساس بررسی منابع عده مختلف، به‌طور کلی روش‌های عده مدیریت تراکم مبتنی بر بازار برق^{۱۱} را می‌توان به‌طور خلاصه به دسته‌های زیر تقسیم‌بندی نمود:

- (الف) روش‌های مبتنی بر ضرایب حساسیت^{۱۲} [۴] تا [۷].
- (ب) روش‌های مبتنی بر حراج^{۱۳} [۸] تا [۱۲].
- (ج) روش‌های مبتنی بر قیمت‌گذاری^{۱۴} [۱۳] تا [۱۸].

4. Independent System Operator

5. Congestion Management

6. Security

7. Reliability

8. Phase Shifters

9. Tap-Changing Transformers

10. Flexible AC Transmission Systems

11. Market-Based Congestion Management

12. Sensitivity Factors Based Methods

13. Auction Based Methods

چکیده: مدیریت تراکم یکی از مهم‌ترین مباحث مدیریت شبکه‌های انتقال در سیستم‌های قدرت تجدید ساختار شده و بازارهای برق دنیا می‌باشد. در این مقاله پس از بررسی موضوع تراکم انتقال، روشی کامل‌تر نسبت به مقالات قبلی برای مدیریت استاتیکی کوتاه‌مدت تراکم ارائه خواهد شد. مبنای روش پیشنهادی، برنامه‌ریزی (دیسپچ) مجدد تولید توان‌های حقیقی و راکتبی در شین‌های حساس شبکه بر اساس تعیین ضرایب توزیع تراکم (ضرایب حساسیت) و دسته‌بندی شین‌های شبکه انتقال بر پایه این ضرایب حساسیت است. در این مقاله، بازار برق و فرآیندهای آن به صورت ترکیبی مدل شده است و امکان وجود قراردادهای قطعی انتقال نیز در نظر گرفته شده است. در پایان، روش پیشنهادی بر یکی از شبکه‌های استاندارد، موزه آزمون قرار گرفته است و نتایج عددی کارآمدی آن را نشان می‌دهد.

کلید واژه: انتقال انرژی، بازار برق، تحلیل حساسیت، سیستم‌های قدرت تجدید ساختار شده، مدیریت تراکم.

۱- مقدمه

وجود محدودیت‌های سیستم انتقال، میزان معین توانی را که می‌توان در یک شبکه بین دو نقطه انتقال داد تعیین می‌کند. در عمل شاید نتوان همه قراردادهای دوچانبه و چندچانبه برای تأمین نیازها با کمترین هزینه را به‌طور کامل ایفا نمود، زیرا که این عامل خود منجر به تجاوز از محدودیت‌های عملی مانند محدودیت ولتاژ و اضافه بار می‌گردد. به این محدودیت شبکه انتقال در اصطلاح تراکم^۱ گفته می‌شود. تراکم در یک سیستم انتقال، چه در سیستم‌های الکتریکی یکپارچه عمودی^۲ و چه غیر یکپارچه، به‌جز برای مدت کوتاهی قابل تحمل نخواهد بود، زیرا ممکن است باعث قطع متوالی انرژی و اتلاف غیر قابل کنترل توان گردد. هزینه مرتبط با راه حل‌های رفع تراکم نیز ممکن است تا جایی بالا رود که خود باعث پدیدآمدن مانعی در خرید و فروش برق گردد. بنابراین، مدیریت تراکم همواره کانون بحث‌هایی در زمینه تسهیل رقابت در صنعت برق بوده است [۱].

مشکل مدیریت تراکم و نرخ‌گذاری انتقال^۳ به عنوان یکی از اصلی‌ترین

این مقاله در تاریخ ۲۶ آبان ماه ۱۳۸۶ دریافت و در تاریخ ۱۸ تیر ماه ۱۳۸۷ بازنگری شد.

محمدموسی تبریزیان، آزمایشگاه پژوهشی برنامه‌ریزی در شبکه‌های قدرت، دانشکده فنی و مهندسی، دانشگاه تربیت مدرس، (email: mm_tabrizian@yahoo.com)، حسین سیفی، گروه برق- قدرت و رئیس مرکز ملی مطالعات و برنامه‌ریزی شبکه‌های قدرت، دانشکده فنی و مهندسی، دانشگاه تربیت مدرس، (email: seifi_ho@modares.ac.ir)

محمدکاظم شیخ‌الاسلامی، گروه برق- قدرت، دانشکده فنی و مهندسی، دانشگاه تربیت مدرس، (email: aleslam@ut.ac.ir).

1. Congestion
2. Vertically Integrated
3. Transmission Pricing

ترتیب با استفاده از تحلیل حساسیت، تعداد شرکت‌کنندگان در شرایط تراکم انتقال بسیار کمتر از تعداد کل شرکت‌کنندگان فعال در بازار است تا سطح رقابت شرکت‌کنندگان بازار برق در حد امکان، حفظ گردیده و چندان تنزل نیابد.

۲-۲ ضرایب توزیع تراکم اکتیو و راکتیو

مبناًی روش مورد استفاده، برنامه‌ریزی (دیسپچ) مجدد میزان تولید توان‌های حقیقی و راکتیو در شین‌های حساس شبکه بر اساس تعیین ضرایب توزیع تراکم (ضرایب حساسیت) AC و منطقه‌بندی (دسته‌بندی) شین‌های شبکه بر مبنای آن می‌باشد.

ضرایب AC توزیع تراکم خط k واقع بین شین‌های i و j ناشی از تغییر در توان‌های تزریقی حقیقی و راکتیو در شین دلخواه m از نظر ریاضی چنین بیان می‌گردد

$$PTCDF_m^k = \frac{\Delta P_{ij}}{\Delta P_m} \quad (1)$$

$$QTCDF_m^k = \frac{\Delta Q_{ij}}{\Delta Q_m} \quad (2)$$

با استفاده از تقریب سری تیلور، روابط تغییرات توان‌های اکتیو و راکتیو در خطوط انتقال را می‌توان چنین نوشت

$$\Delta P_{ij} = \frac{\partial P_{ij}}{\partial \delta_i} \Delta \delta_i + \frac{\partial P_{ij}}{\partial \delta_j} \Delta \delta_j + \frac{\partial P_{ij}}{\partial V_i} \Delta V_i + \frac{\partial P_{ij}}{\partial V_j} \Delta V_j \quad (3)$$

$$\Delta Q_{ij} = \frac{\partial Q_{ij}}{\partial \delta_i} \Delta \delta_i + \frac{\partial Q_{ij}}{\partial \delta_j} \Delta \delta_j + \frac{\partial Q_{ij}}{\partial V_i} \Delta V_i + \frac{\partial Q_{ij}}{\partial V_j} \Delta V_j \quad (4)$$

برای تعیین ضرایب حساسیت AC رابطه ژاکوبین زیر به کار می‌رود

$$\begin{bmatrix} \Delta P \\ \Delta Q \end{bmatrix} = [J] \begin{bmatrix} \Delta \delta \\ \Delta V \end{bmatrix} = \begin{bmatrix} J_{\text{ا}} & J_{\text{ب}} \\ J_{\text{ب}} & J_{\text{ا}} \end{bmatrix} \begin{bmatrix} \Delta \delta \\ \Delta V \end{bmatrix} \quad (5)$$

با صرف نظر از ارتباط توان حقیقی با اندازه ولتاژ و ارتباط توان راکتیو با زاویه ولتاژ، (5) چنین خلاصه می‌گردد

$$\Delta P = [J_{\text{ا}}] [\Delta \delta] \quad (6)$$

$$\Delta Q = [J_{\text{ب}}] [\Delta \delta] \quad (7)$$

و با استفاده از تقریب سری تیلور و ساده‌کردن روابط، در نهایت خواهیم داشت

$$\Delta P_{ij} = PTCDF_{\text{ا}}^k \Delta P_{\text{ا}} + PTCDF_{\text{ب}}^k \Delta P_{\text{ب}} + \dots + PTCDF_n^k \Delta P_n \quad (8)$$

$$\Delta Q_{ij} = QTCDF_{\text{ا}}^k \Delta Q_{\text{ا}} + QTCDF_{\text{ب}}^k \Delta Q_{\text{ب}} + \dots + QTCDF_n^k \Delta Q_n \quad (9)$$

بنابراین ضرایب AC توزیع تراکم توان‌های حقیقی و راکتیو، از روی عناصر ماتریس ژاکوبین و نتایج پخش بار در ساعت مورد نظر برای هر یک از خطوط انتقال قابل محاسبه‌اند [۶] که تعیین این ضرایب بر اساس مدل خطی فوق، بخش مقدماتی و پیش‌نیاز مسئله اصلی بهینه‌سازی را تشکیل می‌دهد.

۳-۲ تعریف مسئله بهینه‌سازی (دیسپچ مجدد توان)

تابع هدف مورد نظر به صورت کمینه‌سازی هزینه حاصل از اعمال مدیریت تراکم در شبکه انتقال با در نظر گرفتن قیود پخش بار بهینه با استفاده از دیسپچ مجدد ژنراتورها و متابع راکتیو واقع در شین‌های حساس

(د) روش‌های مبتنی بر دیسپچ مجدد و تمایل به پرداخت^۳ [۱۹] تا [۲۴].

از بین این روش‌ها، روش‌های دسته (ج) و (د) برای مدیریت تراکم در شرایط مقررات‌زادایی شده و محیط بازار بیشتر مورد استفاده قرار می‌گیرد. مبنای روش‌های دسته (ج) سیگنال‌های قیمت و اساس روش‌های دسته (د) تنظیم انتقال (یا دیسپچ مجدد تبادل^۴) است که در این مقاله، تلفیق آن با روش‌های دسته (الف) یعنی ضرایب حساسیت مورد توجه است. در این مقاله ابتدا کلیات روش مبنای مقاله، یعنی دیسپچ مجدد تبادل بر اساس ضرایب AC توزیع تراکم اکتیو و راکتیو تشریح گردیده و سپس روش پیشنهادی و نوآوری‌های آن مطرح شده است؛ سرانجام نتایج شبیه‌سازی آزمون شده بر شبکه نمونه ۳۹ شینه New England ارائه شده و مورد بررسی قرار گرفته است.

۲- کلیات روش برنامه‌ریزی (دیسپچ) مجدد تبادل مبتنی بر ضرایب حساسیت

۱-۲ مقدمه

در این روش از ضرایب توزیع تراکم انتقال^۴ (TCDF) در تعیین مناطق (مجموعه شین‌های) مؤثر بر تراکم در سیستم استفاده می‌شود و فرض می‌شود که کل سیستم تحت مدیریتی واحد یعنی بازار از نوع متمنک است، اگرچه نواحی مختلف ممکن است به طور جداگانه عمل کنند. لازم به ذکر است که روش‌های مدیریت تراکم به وسیله ISO اگرچه تا حدودی از سطح رقابت و آزادی عمل بازار می‌کاهد، اما در مجموع هزینه‌های مربوط به شبکه انتقال را کنترل نموده و در نتیجه میزان رفاه اجتماعی^۵ کلی را در سطح مناسبی نگه می‌دارد؛ ضمن این که در صورت پیشامد وقوع تراکم، کاربرد این روش‌ها در بازه زمانی کوتاه‌مدت (بازار روز-پیش) اجتناب‌ناپذیر است.

در این روش مدیریت استاتیکی کوتاه‌مدت تراکم داخلی، بر اساس دیسپچ مجدد تبادل یا همان تجدید آرایش تولید توان‌های حقیقی و راکتیو پیشنهاد شده است. مناطق، بر اساس ضرایب حساسیت که به آن عوامل توزیع تراکم گفته می‌شود، تقسیم‌بندی می‌شوند و دو دسته شاخص حساسیت تحت عنوان ضریب توزیع تراکم انتقال اکتیو^۶ (PTCDF) و ضریب توزیع تراکم انتقال راکتیو^۷ (QTCDF) در نظر گرفته می‌شود. ژنراتورها همراه با متابع توان راکتیو واقع در نقاط حساس‌تر با ضرایب توزیع شدید و غیر یکنواخت، شاخص حساسیت برای برنامه‌ریزی مجدد توان خروجی در نظر گرفته می‌شوند. برای تشخیص بهتر نحوه منطقه‌بندی، می‌توان ابتدا ضرایب حساسیت به دست آمده را به ترتیب صعودی یا نزولی مرتب^۸ نمود.

باید توجه کرد اهمیت موضوع تحقیق صرفاً در محیط تجدید ساختار شده و بازارهای برق رقابتی است و مزیت روش مورد مطالعه (مبتنی بر تحلیل حساسیت) نسبت به روش‌های عادی پخش بار بهینه (OPF) در کاهش نقض قراردادها و امکان انحراف کمتر از برنامه بازار است. به این

1. Pricing Based Methods

2. Re-Dispatch and Willingness to Pay Methods

3. Transaction Re-Dispatch

4. Transmission Congestion Distribution Factors

5. Social Welfare

6. Active Power Transmission Congestion Distribution Factors

7. Reactive Power Transmission Congestion Distribution Factors

8. Sort

$$\Delta P_g^{\min} \leq \Delta P_g \leq \Delta P_g^{\max}, \quad g = 1, 2, \dots, N_g \quad (14)$$

$$\Delta Q_g^{\min} \leq \Delta Q_g \leq \Delta Q_g^{\max}, \quad g = 1, 2, \dots, N_g \quad (15)$$

$$\Delta Q_c^{\min} \leq \Delta Q_c \leq \Delta Q_c^{\max}, \quad c = 1, 2, \dots, N_c \quad (16)$$

$$V_i - V_i^{\min} \leq \Delta V_i \leq V_i^{\max} - V_i, \quad i = 1, 2, \dots, N_b \quad (17)$$

$$\sum_g^{N_g} \Delta P_g - \sum_g^{N_g} \frac{\partial P_L}{\partial P_g} \Delta P_g - \sum_g^{N_g} \frac{\partial P_L}{\partial Q_g} \Delta Q_g - \sum_c^{N_c} \frac{\partial P_L}{\partial Q_c} \Delta Q_c = 0 \quad (18)$$

$$\sum_g^{N_g} \Delta Q_g - \sum_g^{N_g} \frac{\partial Q_L}{\partial Q_g} \Delta Q_g - \sum_c^{N_c} \frac{\partial Q_L}{\partial Q_c} \Delta Q_c - \sum_g^{N_g} \frac{\partial Q_L}{\partial P_g} \Delta P_g = 0 \quad (19)$$

مدل ریاضی ارائه شده می‌تواند قابل هماهنگی با شرایط وجود چند تراکم همزمان^۱ نیز باشد، که در این حالت باید شین‌های حساس را با توجه به خرابی حساسیت به دست آمده نسبت به کل مجموعه خطوط تراکم در نظر گرفت.

۳- روش پیشنهادی

به طور خلاصه یکی از نقایص عده مقاولات قبلی مرتبط با موضوع پژوهش، عدم توجه به برخی شرایط واقعی بازارهای برق، نظری ترکیبی بودن مدل بازار^۲ و امکان وجود قراردادهای قطعی انتقال است که در این مقاله به این موارد توجه شده است.

فرضیات عده در روش پیشنهادی به این شرح است:

(الف) نوع بازار انرژی به صورت متمرکز^۳ و پیش رو^۴ فرض شده که معمولاً بازار روز-پیش^۵ در نظر گرفته می‌شود.

(ب) مدل بازار به صورت ترکیبی فرض شده که می‌تواند شامل قراردادهای نوع خوضچه‌ای^۶ همراه با برخی قراردادهای تبادل دوچانبه یا چندچانبه نیز باشد.

(ج) عناصر اصلی فرض شده برای بازار عبارتند از: بهره‌بردار مستقل سیستم (با فرض داشتن اختیارات کافی)^۷، شرکت‌های تولیدی^۸، شرکت‌های انتقال^۹، شرکت‌های توزیع^{۱۰} و مصرف‌کنندگان عده^{۱۱}. سایر عناصر فرعی بازار می‌توانند حضور داشته و لی در موضوع مدیریت تراکم به طور مستقیم و صریح در نظر گرفته نمی‌شوند.

(د) بازه زمانی مورد نظر در موضوع پیشنهادی به صورت کوتاه‌مدت^{۱۲} است که به وسیله ISO پس از دریافت همه پیشنهادات عرضه یا تقاضا^{۱۳} تا قبل از اجرای برنامه بازار در نظر گرفته شده و حل مسئله مدیریت تراکم باید به صورت معمولاً^{۱۴} ساعت به ساعت برای برنامه روز آینده در نظر گرفته شود. فرامین صادره به وسیله ISO نیز طبعاً بایستی تا قبل از اجرای بازار با شرکت‌کنندگان مربوطه توافق و

1. Multi-Congestion
2. Hybrid Model
3. Centralized
4. Forward Market
5. Day-Ahead
6. Pool
7. MaxISO
8. Genco
9. Transco
10. Distco
11. Large Consumers
12. Short Term
13. Offers & Bids

شبکه می‌باشد. مسئله بهینه‌سازی غیر خطی دیسپچ مجدد تبادل جهت مدیریت تراکم به صورت زیر قابل بیان است.

۱-۳-۲ تابع هدف

رابطه زیر تابع هدف مسئله، یعنی کمینه‌سازی هزینه تغییر تولید حقیقی و راکتیو ژنراتورهای مربوطه، به علاوه هزینه تولید راکتیو منابع مورد نظر را بیان می‌کند

$$\begin{aligned} \min \sum_g^{N_g} C_g(\Delta P_g) \Delta P_g + \sum_g^{N_g} C_{gg}(\Delta Q_g) \Delta Q_g \\ + \sum_c^{N_c} C_c(\Delta Q_c) \Delta Q_c \end{aligned} \quad (10)$$

در (۱۰)، عبارت اول یعنی هزینه تولید توان راکتیو ژنراتورها، همان قیمت پیشنهادی پذیرفته شده برای ژنراتور بوده که با استفاده از تابع درجه دوم چنین مدل شده است

$$C_{pg}(P_{Gi}) = a_i + b_i P_{Gi} + c_i P_{Gi}^r \quad (11)$$

که در آن پارامترهای a , b و c ضرایب هزینه تعیین شده برای هر ژنراتور است و نحوه پرداخت هزینه به ژنراتورها توسط ISO، مطابق قیمت پیشنهادی برنده شده (یعنی به صورت Pay As Bid) فرض شده است. عبارت دوم در تابع هدف، هزینه فرست (یا همان هزینه ثابت) متناظر با توان راکتیو تولیدی توسط ژنراتورهای است که چنین مدل شده است [۶]

$$C_{qg}(\Delta Q_g) = [C_{pg}(S_{G,\max}) - C_{pg}(\sqrt{(S_{G,\max})^2 - (\Delta Q_g)^2})]k \quad (12)$$

در (۱۲) $S_{G,\max}$ توان ظاهری نامی ژنراتور و k ضریب نرخ سود تولید توان اکتیو (ممولاً بین ۱/۱۰ تا ۱/۱۰۵) که در اینجا معادل ۱۰۸ در نظر گرفته شده است [۶] و سرانجام عبارت سوم در تابع هدف شامل هزینه معادل برای بازگشت سرمایه اولیه منابع توان راکتیو نصب شده در شبکه و معادل استفاده توسط ISO جهت دیسپچ مجدد توان راکتیو با هدف مدیریت تراکم است که در محاسبه آن، عمر مفید این تجهیزات ۱۵ سال، نرخ متوسط استفاده از آنها معادل دوسوم کل ظرفیت و هزینه اولیه نصب برابر با ۱۱۶۰۰ دلار بر مگاوات فرض شده است [۶].

۲-۳-۲ قیود (محدودیت‌ها)

روابط (۱۳) تا (۱۹) به ترتیب قیود مربوط به ظرفیت مجاز بارگذاری خطوط انتقال، حدود ظرفیت اکتیو و راکتیو ژنراتورهای در نظر گرفته شده، توان در شین‌های شبکه یا در واقع همان قیود پخش بار بهینه است؛ در این روابط N_l تعداد کل خطوط انتقال، N_c تعداد کل شین‌ها، N_{ij} تعداد ژنراتورهای برگزیده و N_{ij} تعداد منابع راکتیو (غیر ژنراتوری) در نظر گرفته شده برای دیسپچ مجدد است. P_{ij} و Q_{ij} توان‌های اکتیو و راکتیو عبوری از خطوط انتقال قبل از دیسپچ مجدد ΔP_g میزان تغییر توان اکتیو ژنراتورها، ΔQ_g میزان تغییر توان راکتیو ژنراتورها و ΔQ_c میزان تغییر توان راکتیو منابع راکتیو (غیر ژنراتوری) پس از دیسپچ مجدد بوده، $S_{ij,\max}$ حداقل ظرفیت توان انتقالی خطوط، ΔV_i میزان تغییر ولتاژ شین‌های شبکه، P_L و Q_L نیز کل تلفات اکتیو و راکتیو خطوط انتقال را نشان می‌دهد

$$\begin{aligned} (P_{ij} + \sum_g^{N_g} PTCDF_g^k \times \Delta P_g)^r \\ + (Q_{ij} + \sum_g^{N_g} QTCDF_g^k \times \Delta Q_g \\ + \sum_c^{N_c} QTCDF_c^k \times \Delta Q_c)^r \leq (S_{ij}^{\max})^r \quad ij \in N_l \end{aligned} \quad (13)$$

راکتیو در هر باس دلخواه m که در قیود تعادل توان‌های اکتیو و راکتیو کل شبکه (معادلات ۱۸ و ۱۹) به کار می‌رود به شکلی ابتکاری با استفاده از مشتقهای جزئی زنجیره‌ای طبق روابط ذیل (معادلات ۲۳ تا ۲۶) محاسبه گردیده‌اند که در آن مشتق کل تلفات توان اکتیو شبکه از جمع کردن مشتق تلفات اکتیو هر یک از خطوط به دست آمده و در محاسبه مشتق تلفات اکتیو هر خط به شکل زنجیره‌ای، ابتدا مشتق تلفات اکتیو خط نسبت به زوایای ولتاژ شین‌های دو طرف خط و سپس مشتق زوایای ولتاژ شین‌های دو طرف خط نسبت به توان تزریقی اکتیو در باس دلخواه m در نظر گرفته می‌شود. همچنین در محاسبه مشتق تلفات راکتیو خط نسبت به اندازه‌های به شکل زنجیره‌ای، ابتدا مشتق تلفات راکتیو خط نسبت به اندازه‌های ولتاژ شین‌های دو طرف خط و سپس مشتق اندازه‌های ولتاژ شین‌های دو طرف خط نسبت به توان تزریقی راکتیو در باس دلخواه m در نظر گرفته می‌شود.

$$\frac{\partial P_{loss}}{\partial P_m} = \sum_{k=1}^{n_l} \frac{\partial P_{loss_k}}{\partial P_m} = \sum_{k=1}^{n_l} \left(\frac{\partial P_{loss_k}}{\partial \delta_i} \cdot \frac{\partial \delta_i}{\partial p_m} \right) + \sum_{k=1}^{n_l} \left(\frac{\partial P_{loss_k}}{\partial \delta_j} \cdot \frac{\partial \delta_j}{\partial P_m} \right) \quad (23)$$

$$\frac{\partial P_{loss}}{\partial q_m} = \sum_{k=1}^{n_l} \frac{\partial P_{loss_k}}{\partial q_m} = \sum_{k=1}^{n_l} \left(\frac{\partial P_{loss_k}}{\partial |V_i|} \cdot \frac{\partial |V_i|}{\partial q_m} \right) + \sum_{k=1}^{n_l} \left(\frac{\partial P_{loss_k}}{\partial |V_j|} \cdot \frac{\partial |V_j|}{\partial q_m} \right) \quad (24)$$

$$\frac{\partial Q_{loss}}{\partial P_m} = \sum_{k=1}^{n_l} \frac{\partial Q_{loss_k}}{\partial P_m} = \sum_{k=1}^{n_l} \left(\frac{\partial Q_{loss_k}}{\partial \delta_i} \cdot \frac{\partial \delta_i}{\partial p_m} \right) + \sum_{k=1}^{n_l} \left(\frac{\partial Q_{loss_k}}{\partial \delta_j} \cdot \frac{\partial \delta_j}{\partial P_m} \right) \quad (25)$$

$$\begin{aligned} \frac{\partial Q_{loss}}{\partial q_m} &= \sum_{k=1}^{n_l} \frac{\partial Q_{loss_k}}{\partial q_m} = \\ &\sum_{k=1}^{n_l} \left(\frac{\partial Q_{loss_k}}{\partial |V_i|} \cdot \frac{\partial |V_i|}{\partial q_m} \right) + \sum_{k=1}^{n_l} \left(\frac{\partial Q_{loss_k}}{\partial |V_j|} \cdot \frac{\partial |V_j|}{\partial q_m} \right) \end{aligned} \quad (26)$$

۴- نتایج شبیه‌سازی

حالاتی مختلف روش پیشنهادی مدیریت تراکم، روی شبکه نمونه شینه New England (شکل ۱) که اطلاعات این شبکه در [۲۵] داده شده است، با استفاده از نرم‌افزارهای Matlab و GAMS شبیه‌سازی گردید.

ابتدا با استفاده از نرم‌افزار Matlab بخش مقدماتی مسئله یعنی محاسبات پخش بار و تعیین ضرایب توزیع تراکم، بر مبنای مدل خطی بیان شده در بخش ۲-۲ انجام گردیده و سپس با استفاده از نرم‌افزار GAMS مدل ریاضی قسمت اصلی مسئله یعنی بهینه‌سازی دیسپچ مجدد تعادل، به شکل یک مسئله برنامه‌ریزی غیر خطی گستته^۳ (DNLP) تبدیل، به کارهای گذشته مرتبط با روش پیشنهادی، امکان وجود قراردادهای فرمول‌بندی و با استفاده از GASM/CONOPT solver حل شده است.

با توجه به فرضیات روش پیشنهادی (ذکر شده در بخش ۳) نوع بازار به صورت روز-پیش و مدل آن ترکیبی در نظر گرفته شده و مدیریت استاتیکی کوتاه‌مدت تراکم داخلی برای یک ساعت خاص وقوع تراکم (معمولًاً در زمان اوج بار) در نظر گرفته شده است و فرض شده است شرکت‌کنندگان برگزیده از تحلیل حساسیت در شرایط رقابتی و بدون تبعیض، قابلیت دیسپچ مجدد توان و همکاری با ISO جهت رفع تراکم انتقال را دارند.

با فرض وقوع تراکم در خط مفروض شماره ۸ مابین شین‌های ۱۴ و ۳۴ (با اضافه بار غیر مجاز فرض شده معادل ۹ MVA) که ضرایب توزیع

هماهنگی گردد و در صورت عدم حصول توافق مناسب، ISO باید محدودیت‌های اضافی پیش‌آمده را در مدل مسئله در نظر گرفته و یا در صورت لزوم شرکت‌کنندگان دیگری را نیز جهت دیسپچ مجدد در نظر بگیرد.

ه) فرض می‌شود که فقط شرکت‌کنندگانی از بازار توسط ISO برای برنامه‌ریزی مجدد در نظر گرفته شده‌اند که علاوه بر تأثیر عمده از نظر حساسیت بر شرایط تراکم، قبلاً برای این منظور اعلام آمادگی نموده و توسط ISO مناسب داده باشند. بالطبع ISO باید هزینه‌های اضافی مرتبط با دیسپچ مجدد را به شرکت‌کنندگان مربوطه پرداخت و در صورت امکان به نحو مناسب جبران نماید.

و) ویژگی بازار به صورت کاملاً رقابتی و بدون وجود شرایط غیر رقابتی یا قدرت بازار^۱ فرض می‌شود.

در روش پیشنهادی عمدهاً موارد ذیل به کارهای ارائه شده در مقالات قبلی مربوط به روش پیشنهادی ([۵] و [۶]) افزوده شده است:

(الف) امکان حضور هم‌زمان شرکت‌کنندگان بازار در هر دو نوع مدل حوضچه‌ای و مدل قراردادهای دوجانبه یا چندجانبه: کارهای گذشته و مقالات قبلی مربوطه مبنی بر این فرض بود که هر یک از تولیدکنندگان (ژنراتورها) به طور هم‌زمان در بازارهای حوضچه‌ای و چندجانبه مشارکت ندارند. با توجه به این که در یک بازار واقعی امکان حضور هم‌زمان شرکت‌های تولیدی در هر دو نوع تبادل حوضچه‌ای و چندجانبه وجود دارد، تأثیر این موضوع در روش پیشنهادی برای مدیریت تراکم، در اینجا ملاحظه و شبیه‌سازی شده است. از لحاظ ریاضی هرگونه تبادل دوجانبه بین فروشنده‌ای در شین m و خریداری در شین n رابطه تعادلی زیر را ایجاد می‌کند

$$\beta_m P_{Gm} - P_{Dn} = \dots \quad (20)$$

تبادل دوجانبه می‌تواند به صورت چندجانبه نیز باشد و رابطه تعادل کل توان مربوطه چنین خواهد شد

$$\sum_m \beta_m^k P_{Gm}^k - \sum_n P_{Dn}^k = \dots , k = 1, 2, \dots \quad (21)$$

که در (۲۰) و (۲۱)، k تعداد قراردادهای چندجانبه و ضریب β_m^k سهم (درصد) مشارکت تولیدکننده m در تأمین قرارداد دوجانبه یا چندجانبه را (نسبت به کل تولید خودش) نشان می‌دهد.

(ب) در نظر گرفتن محدودیت قراردادهای قطعی انتقال^۲ (FTR) موجود در بازار در حل مسئله مدیریت تراکم:

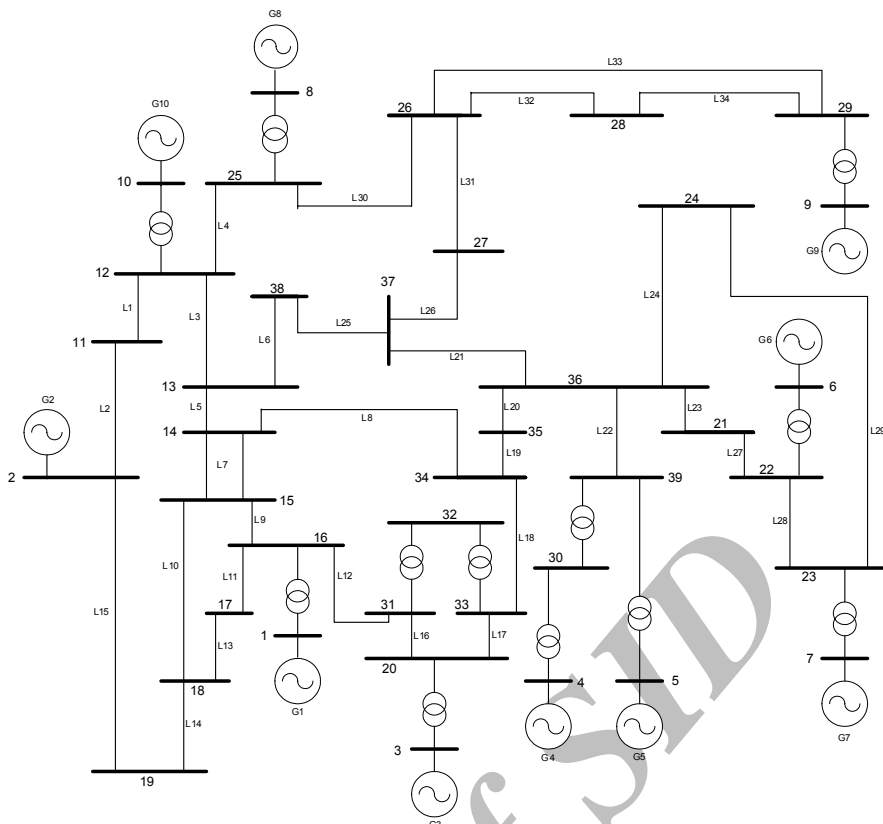
در کارهای گذشته مرتبط با روش پیشنهادی، امکان وجود قراردادهای قطعی انتقال توسط برخی از شرکت‌کنندگان بازار، در حل مسئله مدیریت تراکم در نظر گرفته نشده است، در حالی که در بازارهای واقعی این محدودیت می‌تواند وجود داشته باشد و مدل کردن آن یکی از موارد انجام شده در این مقاله بوده که رابطه زیر به عنوان قید اضافی در مدل ریاضی مسئله، متناظر با این محدودیت است

$$(P_{ij} + \sum_g^N PTCDF_g^k \times \Delta P_g)^r \geq (FTR_{ij})^r \quad (22)$$

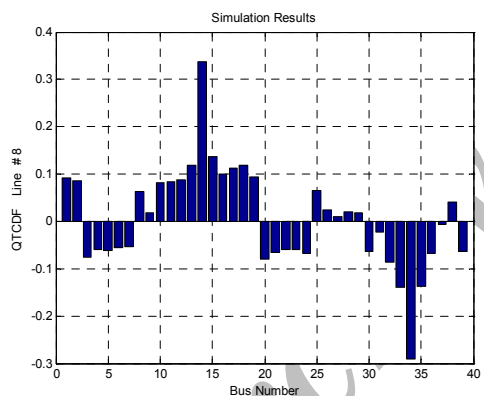
در شبیه‌سازی مسئله، عبارت‌های مشتق تلفات توان اکتیو و مشتق تلفات توان راکتیو در کل خطوط انتقال نسبت به توان تزریقی اکتیو یا

1. Market Power

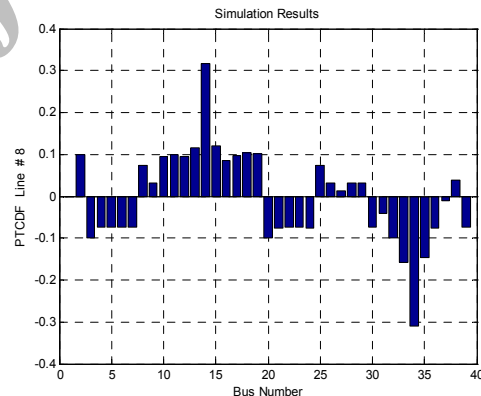
2. Firm Transmission Rights



شکل ۱: نمودار تک خطی شبکه ۳۹ شینه New England.



شکل ۲: خرابی توزیع تراکم (خرابی حساسیت) توان راکتیو برای خط شماره ۸



شکل ۲: ضرایب توزیع تراکم (ضرایب حساسیت) توان اکتیو برای خط شماره ۸

تراکم مربوط به این خط در شکل‌های ۲ و ۳ نشان داده شده است، برنامه‌ریزی مجدد شین‌های منتخب بر مبنای ضرایب توزیع تراکم اکتیو و راکتیو (PTCDF، QTCD) شامل شین‌های ژنراتوری ۳، ۸ و ۱۰ و شین غیر ژنراتوری شماره ۱۴ (به عنوان شین فرضی شامل منبع توان راکتیو با ظرفیت بیشینه فرض شده معادل $MVA_r = 200$) صورت گرفت. مطالعات موردی و حالت‌های مختلف شبیه‌سازی شده، به طور خلاصه در جدول ۱ توصیف شده است و شبیه‌سازی‌های مربوط به بخش‌های (ب) و (ج) و (د) و (ه) نیز روی حالت (الف-۴) که کامل‌تر از موارد قبلی بخش (الف) و به عنوان حالت مینا در نظر گرفته شده است، انجام گردید.

لازم به ذکر است در شبیه‌سازی انجام شده روی شبکه نمونه، چون تعداد متغیرهای مسئله مورد مطالعه چندان زیاد نیست لذا زمان اجرای برنامه کامپیوتری توسط نرم‌افزار GAMS نسبتاً کوتاه (اغلب کمتر از یک ثانیه) و در برخی موارد تا حداقل چند ثانیه) بوده که با در نظر گرفتن شرایط اولیه و مرزبندی متغیرها، سرعت اجرای برنامه و همگرایی آن باز هم بهبود می‌یابد.

۵- بحث درباره نتایج

خلاصه نتایج شبیه‌سازی‌های فوق شامل میزان تغییر توان‌های اکتیو و راکتیو در شین‌های حساس مورد مطالعه و میزان هزینه دیسپچ مجدد در هر حالت، در جدول ۲ ارائه شده است. به دلیل عدم دسترسی به کلداده‌های فرض شده در [۶]، مقدار عددی نتایج به دست آمده در اینجا برای برخی از حالت‌های مشابه با آن مقاله، به طور دقیق قابل مقایسه نمی‌باشد؛ البته صحت نتایج به دست آمده، با چک‌کردن مراحل اجرای برنامه و مشاهده فایل‌های خروجی مربوطه در نرم‌افزار GAMS و همچنین با استفاده از محاسبات جداگانه پخش بار نیز قابل تأیید است.

با در نظر گرفتن حالت‌های کم‌هزینه‌تر در نتایج حاصله از قسمت‌های مختلف شبیه‌سازی‌های (الف)، (ب)، (ج)، (د) و (ه) که شامل حالت‌های (الف-۴)، (ب-۲)، (ج-۲)، (د-۱) و (ه-۳) می‌باشد، میزان تغییر توان حقیقی در شین‌های ژنراتوری حساس مورد مطالعه (شامل شین‌های ۳ و ۸ و ۱۰) در شکل ۴ و میزان تغییر توان راکتیو در شین‌های ژنراتوری ۳ و

جدول ۱: توصیف حالت‌های مختلف شبیه‌سازی.

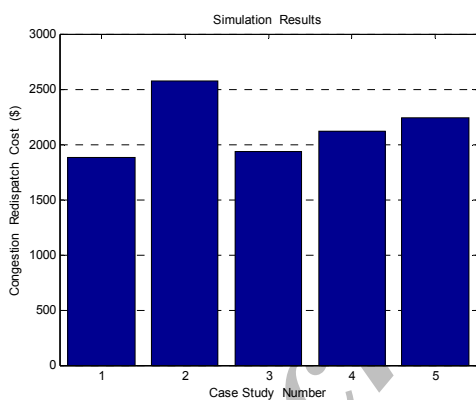
حالات‌های شبیه‌سازی	مطالعات موردي:
بازار حوضچه‌ای (Pool):	بازار حوضچه‌ای (Pool):
(الف-۱)	با فرض بازار از نوع حوضچه‌ای و بدون پشتیبانی توان راکتیو
(الف-۲)	با فرض بازار حوضچه‌ای همراه با پشتیبانی توان راکتیو تولیدی یا دریافتی ژنراتورهای در نظر گرفته شده، معادل 300 MVA فرض شده است.
(الف-۳)	با فرض بازار حوضچه‌ای همراه با پشتیبانی توان راکتیو توسط منابع توان راکتیو (غیر ژنراتوری)
(الف-۴)	با فرض بازار حوضچه‌ای همراه با پشتیبانی توان راکتیو توسط ژنراتورها و منابع توان راکتیو (غیر ژنراتوری)
بخش (ب):	بازار حوضچه‌ای همراه با برخی قراردادهای دوجانبه یا چندجانبه، با فرض این که منابع تولیدی شرکت‌کننده در قرارداد دوجانبه یا چندجانبه در بازار حوضچه‌ای حضور ندارند:
(ب-۱)	حالات (الف-۴) همراه با وجود یک قرارداد دوجانبه معادل $247/5$ مگاوات بین شین‌های 10 و 23 (با فرض این که منبع تولیدی موجود در شین 10 فقط در قرارداد دوجانبه شرکت نموده و در بازار حوضچه‌ای حضور ندارد).
(ب-۲)	با وجود یک قرارداد چندجانبه معادل $649/4$ مگاوات بین شین 3 و 36 با شین‌های 35 و 36
(ب-۳)	با وجود همزمان یک قرارداد دوجانبه معادل $247/5$ مگاوات بین شین‌های 10 و 23 و یک قرارداد چندجانبه معادل $649/4$ مگاوات بین شین 3 با شین‌های 35 و 36 (تفقیق هر دو مورد (ب-۱) و (ب-۲))
بخش (ج):	بازار از نوع ترکیبی (هیبرید): (بازار حوضچه‌ای همراه با برخی قراردادهای دوجانبه یا چندجانبه با فرض این که منابع تولیدی شرکت‌کننده در قرارداد دوجانبه یا چندجانبه می‌توانند همزمان در بازار حوضچه‌ای نیز حضور داشته باشند)
(ج-۱)	حالات (الف-۴) همراه با وجود یک قرارداد دوجانبه اختصاص داشته و 50% دیگر در بازار حوضچه‌ای حضور دارد (یعنی جمماً $2 \times 247/5$ مگاوات).
(ج-۲)	با وجود یک قرارداد چندجانبه معادل 139 مگاوات بین شین‌های 10 و 26 (با فرض بازار از نوع ترکیبی به طوری که 60% تولید در شین 8 به قرارداد دوجانبه اختصاص داشته و 40% دیگر در بازار حوضچه‌ای حضور دارد (یعنی جمماً $139 + 92/7 = 231/7$ مگاوات)).
(ج-۳)	با وجود یک قرارداد چندجانبه معادل 297 مگاوات بین شین 8 با شین‌های 26 و 38 (با فرض بازار از نوع ترکیبی به طوری که 53% تولید در شین 8 به قرارداد چندجانبه اختصاص داشته 139 مگاوات برابر شین 26 و 158 مگاوات برابر شین 38 و 47% دیگر در بازار حوضچه‌ای حضور دارد (یعنی جمماً $297 + 263 = 560$ مگاوات)).
بخش (د):	وجود چند تراکم همزمان (Multi-congestion) در خطوط انتقال:
(د-۱)	حالات (الف-۴) با فرض وجود چند تراکم همزمان در هر دو خط انتقال شماره 8 و شماره 3 (وجود اضافه بار غیرمجاز 9 مگاولت‌امپر در خط 8 و اضافه بار غیرمجاز 28 مگاولت‌امپر در خط 3)
(د-۲)	با فرض وجود چند تراکم همزمان در هر دو خط انتقال شماره 8 و شماره 5 (وجود اضافه بار غیرمجاز 9 مگاولت‌امپر در خط 8 و اضافه بار غیرمجاز 26 مگاولت‌امپر در خط 5)
(د-۳)	با فرض وجود چند تراکم همزمان در هر سه خط انتقال شماره 8 و شماره 5 و شماره 3 (وجود اضافه بار غیرمجاز 9 مگاولت‌امپر در خط 8 و اضافه بار غیرمجاز 28 مگاولت‌امپر در خط 3 و اضافه بار غیرمجاز 26 مگاولت‌امپر در خط 5)
بخش (ه):	وجود قراردادهای قطعی انتقال (FTR):
(ه-۱)	حالات (الف-۴) با فرض وجود یک قرارداد قطعی انتقال (FTR) معادل 344 مگاوات در خط شماره 3
(ه-۲)	با فرض وجود یک قرارداد قطعی انتقال معادل 113 مگاوات در خط شماره 1
(ه-۳)	با فرض وجود یک قرارداد قطعی انتقال معادل 70 مگاوات در خط شماره 20
(ه-۴)	با فرض وجود یک قرارداد قطعی انتقال معادل 59 مگاوات در خط شماره 5
(ه-۵)	با فرض وجود قراردادهای قطعی انتقال (FTR) در همه خطوط موارد (ه-۱) تا (ه-۴) معادل 344 مگاوات در خط شماره 3 و 113 مگاوات در خط شماره 1 و 70 مگاوات در خط شماره 20 و 59 مگاوات در خط شماره 5

حقیقی است. موضوع دیگر وجود قراردادهای دوجانبه یا چندجانبه است که سبب افزایش هزینه تراکم می‌شود و در این موارد ISO می‌تواند هزینه اضافی تحمیل شده را عمدتاً از طرفین این نوع قراردادها تأمین نماید. در موارد وجود تراکم همزمان در چند خط انتقال هم هرچند که احتمال وقوع آن کمتر است، طبعاً هزینه دیسپچ مجدد مورد نیاز برای مدیریت تراکم افزایش خواهد یافت. همچنین در موارد وجود محدودیت قراردادهای قطعی انتقال (FTR) نیز هزینه دیسپچ مجدد مورد نیاز برای مدیریت کوتاه‌مدت تراکم توسط ISO افزایش می‌یابد. هرچند که این قراردادها ابزار مناسبی برای مواجهه

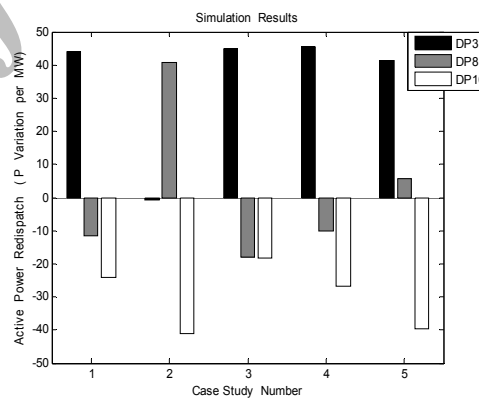
۸ و شین 10 و شین 14 (دارای منبع توان راکتیو) در شکل ۵ جهت مقایسه، نشان داده شده است. مقدار هزینه لازم جهت دیسپچ مجدد و اعمال مدیریت تراکم در پنج حالت فوق نیز در شکل ۶ نمایش داده شده است. همان‌طور که از نتایج به دست آمده مشاهده می‌شود با استفاده از برنامه‌ریزی مجدد منابع مؤثر توان راکتیو، هزینه مدیریت تراکم کاهش می‌یابد، بهویژه در حالتی که علاوه بر ژنراتورها از سایر منابع توان راکتیو نیز بهره گرفته شود. البته تأثیر دیسپچ مجدد توان راکتیو از نظر کاهش هزینه مدیریت تراکم، طبعاً کمتر از دیسپچ مجدد توان حقیقی (راکتیو) است، زیرا هزینه متناظر با توان راکتیو به مراتب کمتر از هزینه توان

جدول ۲: خلاصه نتایج شبیه‌سازی.

Case Study No.	$\Delta(P_g)$ Bus#3 (MW)	$\Delta(P_g)$ Bus#8 (MW)	$\Delta(P_g)$ Bus#10 (MW)	$\Delta(Q_g)$ Bus#3 (MVAr)	$\Delta(Q_g)$ Bus#8 (MVAr)	$\Delta(Q_g)$ Bus#10 (MVAr)	$\Delta(Q_c)$ Bus#14 (MVAr)	Congestion Redispatch Cost (\$)
(الف-۱)	۵۲,۶۱۸	-۱۳,۸۴۳	-۲۸,۷۹۱	-	-	-	-	۲۷۸۲,۳۶
(الف-۲)	۴۷,۷۸۵	-۱۲,۶۳۳	-۲۶,۰۸۶	-۱۵,۶۸۲	۵,۴۳۱	۱۰,۳۳۹	-	۲۲۲۳,۹۷
(الف-۳)	۴۸,۳۳۷	-۱۲,۰۲۹	-۲۷,۱۵۱	-	-	-	۳,۷۵۷	۲۲۵۱,۷۱
(الف-۴)	۴۴,۰۶۶	-۱۱,۵۲۳	-۲۴,۱۸۴	-۱۲,۲۰۲	-۱,۷۱۷	۶,۲۵۱	۲۵,۷۶۰	۱۸۷۹,۲۴
(۱-ب)	۴۷,۴۱۱	-۳۵,۴۴۴	-۲,۵۰۰	-۱۴,۷۹۱	-۱,۴۷۵	۸,۴۸۱	۲۲,۴۵۲	۲۶۹۳,۳۰
(۲-ب)	-۰,۶۰۰	۴۰,۸۳۳	-۴۱,۱۸۵	-۳۰,۳۴۳	۲,۳۵۵	۱۹,۵۱۴	۲۵,۵۴۶	۲۵۷۰,۷۳
(۳-ب)	-۰,۶۰۰	۲,۹۲۷	-۲,۵۰۰	-۶۰,۸۲۲	۹,۴۸۵	۴۱,۵۰۹	۱۹,۳۸۱	۳۰,۳۳,۳۵
(۱-ج)	۴۱,۲۱۲	۸,۰۰۰	-۴۱,۷۸۱	-۱۲,۷۸۹	-۱,۶۰۶	۶,۷۰۰	۲۷,۰۴۱	۲۳۳۸,۸۸
(۲-ج)	۴۴,۹۷۹	-۱۸,۰۱۸	-۱۸,۳۰۰	-۱۲,۸۰۴	-۱,۶۸۴	۶,۷۹۲	۲۵,۱۱۴	۱۹۳۵,۰۸
(۳-ج)	۳۹,۴۵۷	۲۰,۰۰۰	-۵۲,۵۹۶	-۱۳,۳۹۷	-۱,۵۱۷	۷,۰۹۷	۲۸,۶۲۶	۳۱۴۳,۵۰
(۱-د)	۴۵,۳۸۳	-۹,۹۴۶	-۲۶,۸۶۷	۱۶,۴۴۷	-۷,۳۴۵	-۱۵,۴۳۷	۲۷,۷۱۶	۲۱۲۱,۸۰
(۲-د)	۴۶,۱۵۱	-۱۱,۰۷۱	-۲۶,۳۴۴	۲۲,۴۴۷	-۱۲,۱۸۸	-۱۵,۷۱۶	۲۶,۲۱۷	۲۲۶۹,۰۳
(۳-د)	۴۷,۲۵۸	-۶,۹۱۹	-۳۱,۴۸۵	۳۵,۲۸۶	-۱۱,۸۱۲	-۲۷,۱۲۶	۲۳,۵۷۹	۲۹۵۷,۵۰
(۱-ه)	۴۶,۴۳۰	-۳۲,۹۷۴	-۴,۲۲۱	-۲۸,۴۱۸	۱,۷۷۸	۱۸,۲۵۱	۲۲,۵۹۷	۲۷۱۶,۸۴
(۲-ه)	۴۲,۳۷۶	-۷,۴۶۰	-۲۶,۹۵۳	-۳۸,۲۸۴	۴,۱۶۰	۲۵,۲۹۷	۲۴,۲۷۴	۲۴۷۸,۹۷
(۳-ه)	۴۱,۴۵۶	۵,۷۵۱	-۳۹,۶۸۴	-۱۴,۵۵۶	-۱,۴۰۳	۸,۱۸۴	۲۷,۲۱۰	۲۲۴۰,۴۱
(۴-ه)	۳۸,۳۱۴	۲۱,۷۹۳	-۵۳,۴۹۵	-۳۵,۵۱۱	۳,۵۷۰	۲۳,۲۳۷	۲۷,۲۰۸	۳۷۲۶,۱۷
(۵-ه)	۳۸,۸۵۶	۱۳,۵۹۸	-۴۵,۵۷۴	-۵۴,۳۶۵	۷,۹۳۳	۳۶,۸۹۱	۲۵,۱۰۷	۴۵۳۳,۴۵



شکل ۴: میزان تغییر توان حقیقی در شین‌های ژنراتوری ۳ و ۸ و ۱۰ در حالت‌های بهترتب (الف-۴)، (ب-۲)، (ج-۲)، (د-۱) و (ه-۳).

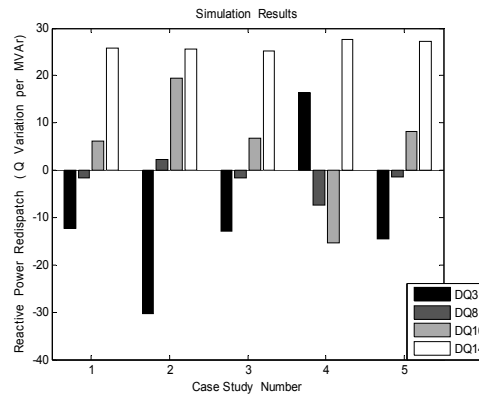


شکل ۴: میزان تغییر توان حقیقی در شین‌های ژنراتوری ۳ و ۸ و ۱۰ در حالت‌های بهترتب (الف-۴)، (ب-۲)، (ج-۲)، (د-۱) و (ه-۳).

کوتاه‌مدت را به طور غیر مستقیم از طریق درآمدهای حاصل از واگذاری یا حرایح حقوق قطعی انتقال جبران نماید. نهایتاً در حالت عادی مابقی برآیند این هزینه‌ها طی یک دوره زمانی توسط ISO از مصرف‌کنندگان یا تولیدکنندگان یا هر دو مورد (عموماً به نسبت میزان توان آنها) باید دریافت شود.

۶- نتیجه‌گیری

در این مقاله روشی برای مدیریت استاتیکی تراکم داخلی مبتنی بر برنامه‌ریزی (دیسپچ) مجدد تولید توان‌های حقیقی و راکتیو در شین‌های حساس شبکه، بر اساس تعیین ضرایب توزیع تراکم اکتیو و راکتیو (ضرایب حساسیت AC) و دسته‌بندی شین‌های شبکه انتقال بر پایه این ضرایب ارائه شده است. در روش پیشنهادی، بازار برق به صورت ترکیبی مدل شده و محدودیت وجود قراردادهای قطعی انتقال نیز در نظر گرفته شده است. در پایان روش پیشنهادی بر شبکه نمونه ۳۹ شینه



شکل ۵: میزان تغییر توان راکتیو در شین‌های ژنراتوری ۳ و ۸ و ۱۰ و شین ۱۴ (دارای منبع توان راکتیو) در حالت‌های بهترتب (الف-۴)، (ب-۲)، (ج-۲)، (د-۱) و (ه-۳).

draزمدت با مشکل تراکم انتقال از دید شرکت‌کنندگان بازار به حساب می‌آید؛ در این حالت‌ها نیز ISO می‌تواند هزینه اضافی تحمیل شده در

- [14] D. Gan and D. V. Bourcier, "Locational market power screening and congestion management: experience and suggestions," *IEEE Trans. Power Syst.*, vol. 17, no. 1, pp. 180-185, Feb. 2002.
- [15] S. Hao and D. Shirmohammadi, "Congestion management with ex ante pricing for decentralized markets," *IEEE Trans. Power Syst.*, vol. 17, no. 4, pp. 1030-1036, Nov. 2002.
- [16] F. Milano, C. A. Canizares, and M. Invernizzi, "Multi - objective optimization for pricing system security in electricity markets," *IEEE Trans. Power Syst.*, vol. 18, no. 2, pp. 596-604, May 2003.
- [17] G. C. Stamtsis and I. Erlich, "Congestion analysis and participants' behavior in a pool market," in *IEE Proc. Generation Transmission Distribution*, vol. 151, no. 1, pp. 127-131, Jan. 2004.
- [18] A. Sedaghati, "Cost of transmission system usage based on an economic measure," *IEEE Trans. on Power Systems*, vol. 21, no. 2, pp. 466-473, May 2006.
- [19] H. Y. Yamin and S. M. Shahidepour, "Congestion management coordination in the deregulated market," *Electric Power Systems Research*, vol. 65, no. 2, pp. 119-127, May 2003.
- [20] A. G. Bakirtzis and P. N. Biskas, "A decentralized solution to the DC-OPF of the interconnected power systems," *IEEE Trans. Power Syst.*, vol. 18, no. 2, pp. 1007-1013, Aug. 2003.
- [21] T. Wu and *et al.*, "Pricing ancillary and energy services in integrated market systems by an optimal power flow," *IEEE Trans. Power Syst.*, vol. 19, no. 1, pp. 339-347, Feb. 2004.
- [22] J. A. Aguado and *et al.*, "Coordinated spot market for congestion management of inter-regional electricity markets," *IEEE Trans. Power Syst.*, vol. 19, no. 1, pp. 180-187, Feb. 2004.
- [23] C. A. Canizares and *et al.*, "Transmission congestion management and pricing in simple auction electricity markets," *Int J. Emerging Electric Power Syst.*, vol. 1, no. 1, pp. 1-28, Mar. 2004.
- [24] B. K. Talukdar and *et al.*, "A computationally simple method for cost - efficient generation rescheduling and load shedding for congestion management," *Electrical Power and Energy Systems*, vol. 27, no. 5-6, pp. 379-388, Jun./Jul. 2005.
- [25] M. A. Pai, *Energy Function Analysis for Power System Stability*, Kluwer Academic Publishers, Boston, 1989.

محمد موسی تبریزیان متولد ۱۳۴۹ دارای درجه کارشناسی مهندسی برق قدرت از دانشگاه صنعتی شریف (۱۳۷۱) و درجه کارشناسی ارشد مهندسی برق قدرت از دانشگاه فردوسی مشهد (۱۳۷۷) بوده و از سال ۱۳۸۳ مشغول تحصیل در دوره دکترای مهندسی برق قدرت در دانشگاه تربیت مدرس می‌باشد. زمینه تخصصی مورد علاقه ایشان تجدید ساختمان در صنعت برق، بازار برق، مدیریت شبکه‌های انتقال، ماشین‌های الکتریکی و ترانسفورماتورها می‌باشد.

حسین سیفی، تحصیلات خود را در مقاطع کارشناسی، کارشناسی ارشد و دکتری به ترتیب از دانشگاه شیراز، دانشگاه منچستر (یومیست) و دانشگاه منچستر (یومیست) در سالهای ۱۳۵۹، ۱۳۶۶ و ۱۳۶۸ اخذ نموده و از سال ۱۳۶۸ به دانشگاه تربیت مدرس پیوسته است که هم‌اکنون استاد دانشکده مهندسی برق و کامپیوتر این دانشگاه است. زمینه‌های مورد علاقه نامبرده، دینامیک، برنامه‌ریزی و بهره‌برداری از سیستم‌های قدرت است.

محمد کاظم شیخ‌الاسلامی تحصیلات خود را در مقطع کارشناسی مهندسی برق، قدرت در سال ۱۳۷۰ در دانشگاه تهران و در مقطع کارشناسی ارشد و دکتری مهندسی برق، قدرت به ترتیب در سالهای ۱۳۷۹ و ۱۳۸۴ در دانشگاه تربیت مدرس به پایان رسانده و هم‌اکنون استادیار دانشگاه تربیت مدرس است. نامبرده از سال ۱۳۸۴ کارشناس ارشد مرکز ملی مطالعات و برنامه‌ریزی شبکه‌های قدرت بوده است و از سال ۱۳۸۶ معاونت پژوهشی مرکز را به عنده گرفته است. زمینه‌های تحقیقاتی مورد علاقه ایشان عبارتند از: مطالعات اقتصادی بازار برق و بهره‌برداری و برنامه‌ریزی در محیط تجدیدساختار یافته.

New England، مورد آزمون قرار گرفته و نتایج عددی کارآمدی آن را نشان می‌دهد.

برای تکمیل پژوهش، موارد پیشنهادی ذیل در حال مطالعه و انجام بوده که نتایج حاصله در آینده ارائه خواهد شد:

(الف) کاربرد روش پیشنهادی در مدیریت بار و برنامه‌ریزی (دیسچ) مجدد مصرف‌کننده‌های بزرگ و قله‌پذیر^۱ یا اصطلاحاً تجهیزات سازگار با شبکه^۲ (GFA) موجود در سیستم بهمنظور بهبود تراکم انتقال.

(ب) تحلیل نحوه کنترل هزینه مدیریت تراکم توسط ISO و مدل‌سازی قوانین و رویه‌های بازار و بهبود شکل تابع هدف مسئله (از نظر نحوه قیمت‌گذاری مناسب و عملی تر...).

(ج) مطالعه موردی روش پیشنهادی در شبکه سراسری ۴۰۰ کیلوولت ایران (با توجه به شرایط بازار برق ایران).

مراجع

- [1] R. D. Christie, B. F. Wollenberg, and I. Wangensteen, "Transmission management in the deregulated environment," *Proceedings of IEEE*, vol. 88, no. 2, pp. 170-195, Feb. 2000.
- [2] B. J. Kirby and J. W. Van Dyke, *Congestion Management Requirements Methods and Performance Indices*, CERTS, ORNL/TM-2002/119, Jun. 2002.
- [3] T. Kristiansen, "Cross-border transmission capacity allocation mechanisms in South East Europe," *Energy Policy*, vol. 35, no. 9, pp. 4611-4622, 2007.
- [4] A. G. Bakirtzis and P. N. Biskas, "Decentralized DC load flow and applications to transmission management," *IEE Proceedings Generation Transm. Distribution*, vol. 149, no. 5, pp. 600-606, Sep. 2002.
- [5] A. Kumar, S. C. Srivastava, and S. N. Singh, "A zonal congestion management approach using AC transmission congestion distribution factors," *Electric Power Systems Research*, vol. 72, no. 1, pp. 85-93, 2004.
- [6] A. Kumar, S. C. Srivastava, and S. N. Singh, "A zonal congestion management approach using real and reactive power rescheduling," *IEEE Trans. Power Syst.*, vol. 18, no. 1, pp. 554-562, Feb. 2004.
- [7] S. Deladreue, F. Brouaye, P. Bastard, and L. Peligry, "Using two multivariable methods for line congestion study in transmission systems under uncertainty," *IEEE Trans. Power Syst.*, vol. 18, no. 1, pp. 353-358, Feb. 2003.
- [8] A. J. Conejo, F. D. Galiana, J. M. Arroyo, R. Garcia-Bertrand, C. W. Chua, and M. Huneault, "Economic inefficiencies and cross-subsidies in an auction-based electricity pool," *IEEE Trans. Power Syst.*, vol. 18, no. 1, pp. 221-228, Feb. 2003.
- [9] X. Ma, D. I. Sun and K. W. Cheung, "Evolution towards standard market design," *IEEE Trans. Power Syst.*, vol. 18, no. 2, pp. 460-469, May 2003.
- [10] M. Liu and G. Gross, "Framework for the design and analysis of congestion revenue rights," *IEEE Trans. Power Syst.*, vol. 18, no. 1, pp. 243-251, Feb. 2004.
- [11] L. A. Tuan, K. Bhattacharya, and J. Daalader, "Transmission congestion management in bilateral markets: an interruptible load auction solution," *Electric Power Systems Research*, vol. 74, no. 3, pp. 379-389, 2005.
- [12] P. N. Biskas and *et al.*, "Analysis of a monthly auction for financial transmission rights and flow-gate rights," *Electric Power Systems Research*, vol. 77, no. 5-6, pp. 594-603, 2007.
- [13] L. Chen and *et al.*, "Component of nodal prices for electric power systems," *IEEE Trans. Power Syst.*, vol. 17, no. 1, pp. 41-49, Feb. 2002.

1. Interruptible Loads
2. Grid Friendly Appliances